

Preappello di FDI
del 06/06/2022

$$\text{massa disco} = \pi$$

$$\text{raggio } " = R = \overline{OP}$$

P, Q, A, B , guida (conosciuta ξ)

e asse 2 è piano Π

costante nella elastica t_{22}

$$P e Q = k$$

carica elettrica in A = $q > 0$.

massa $P = m = \text{massa } Q$

(1) Lagrangiana ed equazioni di Lagrange.

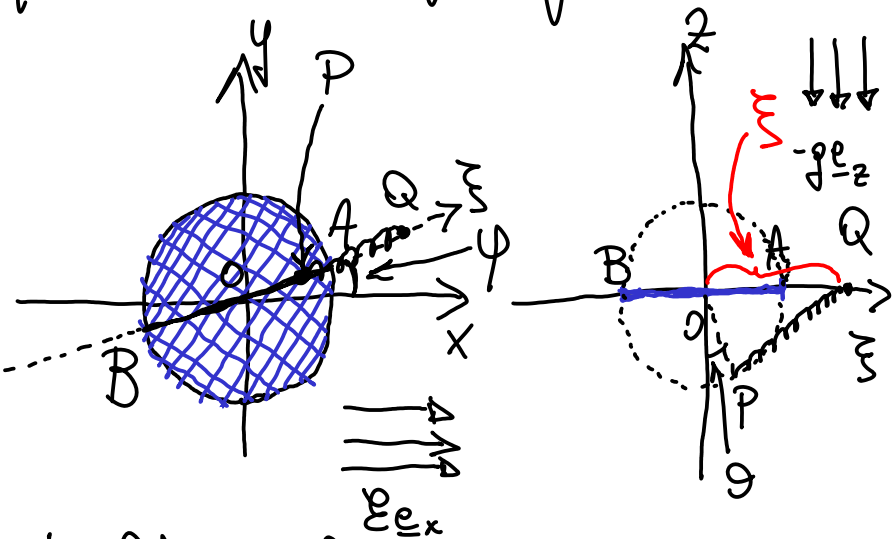
E' utile fare riferimento

anche alle proiezioni

sui piani Oxy e $O\xi z$,

che sono (rispettivamente)

qui a destra.



Adottiamo come coordinate libere φ, θ, ξ come in figura, dove per ξ intendiamo l'ascissa di Q sulla guida, misurata a partire dall'origine e con segno positivo se Q è dalla stessa parte di A rispetto a O (e con segno negativo se è dalla parte di B).

Coordinate cartesiane di alcuni punti del sol:

$$A: (R \cos \varphi, R \sin \varphi, 0) \quad B: (-R \cos \varphi, -R \sin \varphi, 0)$$

$$P: (R \sin \theta \cos \varphi, R \sin \theta \sin \varphi, -R \cos \theta) \quad Q: (\xi \cos \varphi, \xi \sin \varphi, 0)$$

Energia cinetica:

$$T = \frac{1}{2} I_D \dot{\varphi}^2 + \frac{1}{2} m \underline{v}_P \cdot \underline{v}_P + \frac{1}{2} m \underline{v}_Q \cdot \underline{v}_Q ,$$

dove $I_D = \frac{1}{2} \pi R^2$ è l'inerzia del disco, mentre

$\underline{v}_P \cdot \underline{v}_P = R^2 (\dot{\theta}^2 + \sin^2 \theta \dot{\varphi}^2)$, perché P è sulla sfera di raggio R e θ, φ sono rispettivamente colatitudine (o pertice della verticale discendente) e longitudine, mentre $\underline{v}_Q \cdot \underline{v}_Q = \dot{\xi}^2 + \xi^2 \dot{\varphi}^2$, perché (ξ, φ) sono le coord. polari di Q nel piano orizzontale.

$$\Rightarrow T = \frac{1}{4} \pi R^2 \dot{\varphi}^2 + \frac{1}{2} m R^2 (\dot{\theta}^2 + \sin^2 \theta \dot{\varphi}^2) + \frac{1}{2} m (\dot{\xi}^2 + \xi^2 \dot{\varphi}^2) .$$

Energia potenziale:

$$U = mg z_P + \frac{1}{2} k \bar{PQ}^2 - q \epsilon x_A ,$$

dove $z_P = -R \cos \theta$, $x_A = R \cos \varphi$ e

$$\bar{PQ}^2 = (R \sin \theta - \xi)^2 + R^2 \cos^2 \theta = R^2 - 2R \xi \sin \theta + \xi^2 .$$

$$\Rightarrow U = -mg R \cos \theta - q \epsilon R \cos \varphi + \frac{1}{2} k \xi^2 - k R \xi \sin \theta$$

(dove sono state omesse le costanti).

Possiamo quindi scrivere la lagrangiana come segue:

$$L(\xi, \dot{\theta}, \dot{\varphi}; \ddot{\xi}, \ddot{\theta}, \ddot{\varphi}) = \frac{1}{2} MR^2 \dot{\varphi}^2 + \frac{1}{2} mR^2 (\dot{\theta}^2 + \sin^2 \theta \dot{\varphi}^2) + \frac{1}{2} m(\ddot{\xi}^2 + \ddot{\zeta}^2 \dot{\varphi}^2) + mgR \cos \theta + qER \cos \varphi - \frac{1}{2} k\ddot{\zeta}^2 + kR\ddot{\xi} \sin \theta,$$

dove riuniamo le equazioni di Lagrange in modo sostanzialmente autocostitutivo

$$\left\{ \begin{array}{l} \frac{d}{dt} \frac{\partial L}{\partial \ddot{\xi}} - \frac{\partial L}{\partial \dot{\xi}} = m\ddot{\xi} - m\ddot{\zeta}\dot{\varphi}^2 + k\ddot{\zeta} - kR\sin\theta = 0 \\ \frac{d}{dt} \frac{\partial L}{\partial \dot{\theta}} - \frac{\partial L}{\partial \theta} = mR^2 \ddot{\theta} - mR^2 \sin\theta \cos\theta \dot{\varphi}^2 + mgR \sin\theta - kR\ddot{\xi} \cos\theta = 0 \\ \frac{d}{dt} \frac{\partial L}{\partial \dot{\varphi}} - \frac{\partial L}{\partial \varphi} = \left[\left(\frac{I}{2} + m \sin^2 \theta \right) R^2 + m\ddot{\zeta}^2 \right] \ddot{\varphi} + 2mR^2 \sin\theta \cos\theta \dot{\varphi} \ddot{\theta} + 2m\ddot{\zeta}\dot{\zeta}\dot{\varphi} + qER \sin\theta = 0 \end{array} \right.$$

————— 0 —————

(2) Punti di equilibrio e studio della loro stabilità.

Al fine di determinare i p.t. di equilibrio, dobbiamo risolvere il sistema seguente:

$$\left\{ \begin{array}{l} \frac{\partial U}{\partial \ddot{\xi}} = k(\ddot{\zeta} - R \sin \theta) = 0 \\ \frac{\partial U}{\partial \dot{\theta}} = mgR \sin \theta - kR\ddot{\xi} \cos \theta = 0 \\ \frac{\partial U}{\partial \dot{\varphi}} = qER \sin \theta = 0 \end{array} \right. \Rightarrow \left\{ \begin{array}{l} \ddot{\zeta} = R \sin \theta \\ kR \sin \theta \left(\frac{mg}{kR} - \cos \theta \right) = 0 \\ \dot{\varphi} = 0, \pi \end{array} \right.$$

La seconda equazione ammette le seguenti soluzioni:

$$\sin \theta = 0 \Rightarrow \theta = 0, \pi, \quad \cos \theta = \frac{mg}{kR} \Rightarrow \theta = \pm \beta,$$

dove $\beta = \arccos \left(\frac{mg}{kR} \right)$ che si se e solo se $\frac{mg}{kR} \leq 1$.

Riassumendo, le configurazioni di equilibrio sono

$$(\xi, \vartheta, \varphi) \in \{(0, 0, 0), (0, \pi, 0), (R \sin \beta, \beta, 0), (-R \sin \beta, -\beta, 0), (0, 0, \pi), (0, \pi, \pi), (R \sin \beta, \beta, \pi), (-R \sin \beta, -\beta, \pi)\}$$

Affò stop di studiare la stabilità, calcoliamo

$$\text{Hess } U(\xi, \vartheta, \varphi) = \begin{pmatrix} k & -kR \cos \vartheta & 0 \\ -kR \cos \vartheta & mR \cos \vartheta + kR \xi \sin \vartheta & 0 \\ 0 & 0 & qER \cos \vartheta \end{pmatrix}$$

la dipendenza dell'Hessiano dalle lungitudini
È così semplici, che possiamo immediatamente
decidere la stabilità di 4 dei 8 p.ti di equilibrio.

Infatti, nei casi $(0, 0, \pi), (0, \pi, \pi), (\pm R \sin \beta, \pm \beta, \pi)$
si ha che

$$\text{Hess } U(\xi, \vartheta, \varphi = \pi) = \begin{pmatrix} \dots & \dots & 0 \\ \dots & \dots & 0 \\ 0 & 0 & -qER \end{pmatrix},$$

quindi (si ricordiche $q > 0$) è sempre almeno un
autovettore negativo \Rightarrow in questi 4 casi i p.ti di equilibrio sono INSTAB.

$$- Caso \left(\xi, \vartheta, \varphi \right) = \left(0, 0, 0 \right)$$

$$\text{Hess } U \left(\xi, \vartheta, \varphi \right) \Big|_{\begin{array}{l} \xi=0 \\ \vartheta, \varphi = 0 \end{array}} = \begin{pmatrix} k & -kR & 0 \\ -kR & mgR & 0 \\ 0 & 0 & qER \end{pmatrix}.$$

Siccome il termine in basso o destro (cioè qER) è evidentemente un autovel. positivo, allora possiamo restringerci a studiare $\begin{pmatrix} k & -kR \\ -kR & mgR \end{pmatrix}$. La cui traccia $k + mgR$ è evidente mente positiva, mentre il suo determinante è $kR(mg - kR) > 0$ per $\frac{mg}{kR} > 1$, mentre è negativo se $\frac{mg}{kR} < 1$. Di conseguenza, nel sottocaso $\frac{mg}{kR} > 1$, abbiamo 3 autovel. pos. $\Rightarrow \text{STABILE}$, nel sottocaso $\frac{mg}{kR} < 1$, c'è l'autovel. neg. $\Rightarrow \text{INSTABILE}$, mentre quando $\frac{mg}{kR} = 1$, abbiamo 2 autovel. pos. e 1 nullo quindi servirà un supplemento di indagine.

$$- \text{Caso } (\xi, \vartheta, \psi) = (0, \pi, 0)$$

$$\text{Hess } U(\xi, \vartheta, \psi) \Big|_{\begin{array}{l} \xi=0 \\ \vartheta=\pi \\ \psi=0 \end{array}} = \begin{pmatrix} k & kR & 0 \\ kR & -\mu g R & 0 \\ 0 & 0 & q \epsilon R \end{pmatrix}, \text{ il cui}$$

determinante è $-kR(\mu g + kR)q \epsilon R < 0 \Rightarrow$ l'autaval.

è neg. (e gli altri 2 sono positivi) \rightarrow è un p.t.o di equil. INSTABILE

$$- \text{Caso } (\xi, \vartheta, \psi) = (\pm R \sin \beta, \pm \beta, 0)$$

$$\text{Hess } U(\xi, \vartheta, \psi) \Big|_{\begin{array}{l} \xi = \pm R \sin \beta \\ \vartheta = \pm \beta \\ \psi = 0 \end{array}} = \begin{pmatrix} k & -kR \cos \beta & 0 \\ -kR \cos \beta & \mu g R \cos \beta + kR^2(1 - \cos^2 \beta) & 0 \\ 0 & 0 & q \epsilon R \end{pmatrix},$$

il cui determinante è

$$q \epsilon R \cdot \left[k^2 R^2 \left(\frac{\mu g}{kR} \cos \beta + 1 - 2 \cos^2 \beta \right) \right] = q \epsilon k^2 R^3 \left(\frac{\mu g}{kR^2} + 1 - \frac{2 \mu^2 g^2}{k^2 R^2} \right)$$

$$= q \epsilon k^2 R^3 \left(1 - \frac{\mu^2 g^2}{k^2 R^2} \right) > 0 \text{ se } \frac{\mu g}{kR} < 1.$$

Sempre perché l'ultimo elemento in basso a destra

corrisponde a un autaval. pos. possiamo limitarci a studiare la matrice 2×2 in alto a sin. per cui traccia è $k + \mu g R \cos \beta + k R^2 \sin^2 \beta = k + \frac{\mu^2 g^2}{k} + k R^2 \sin^2 \beta > 0$.

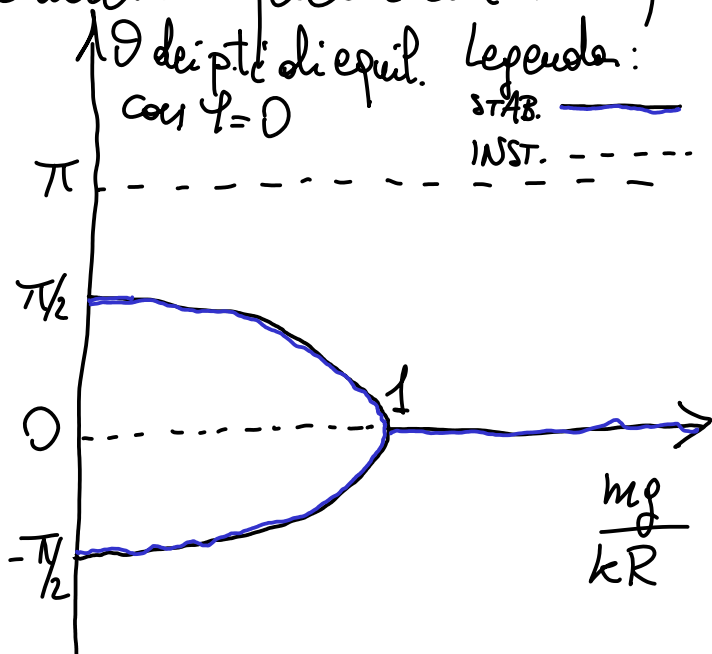
Sottocaso con $\frac{m_f}{kR} < 1$, abbiamo 3 autoval. pos.
 \Rightarrow p.ti di equil. STABILI.

Sottocaso $\frac{m_f}{kR} = 1$, abbiamo 2 autoval. pos. e 1 nullo
 quindi servirà un supplemento di indagine.

Il sottocaso con $\frac{m_f}{kR} > 1$ non è da considerare, perché sotto questa ipotesi non esistono questi p.ti di equil.

È conveniente riassumere la situazione dei p.ti di equilibrio (inizialmente a quelli con $\varphi = 0$) con un riassunto grafico.

Nel grafico qui a destra si riconosce (in corrispondenza del valore critico $\frac{m_f}{kR} = 1$) la classica situazione della biforcazione a forchetta di un p.t. di equilibrio stabile, questo porta a competere che i 3 casi indecisi, cioè $(0,0,0)$ e $(\pm R \sin \beta, \pm \beta, 0)$ che per $\beta = \arccos \frac{m_f}{kR} = \arccos 1$ sono coinci-



ui p.ti di equilibrio stabile, questo porta a competere che i 3 casi indecisi, cioè $(0,0,0)$ e $(\pm R \sin \beta, \pm \beta, 0)$ che per $\beta = \arccos \frac{m_f}{kR} = \arccos 1$ sono coinci-

denti, corrispondono a un equilibrio stabile.

Allo scopo di verificarlo, consideriamo la funzione

$$f(\xi, \vartheta) = U(\xi, \vartheta, 0) = -\frac{m}{kR} \cos \vartheta + \frac{1}{2} k \xi^2 - k R \xi \sin \vartheta - q R$$

nel caso $\frac{m}{kR} = 1$, quindi

$$f: \mathbb{R} \times \mathbb{T} \rightarrow \mathbb{R} \text{ è t.c. } f(\xi, \vartheta) = \frac{1}{2} k \xi^2 - k R \xi \sin \vartheta - k R^2 \cos \vartheta - q R$$

Siccome $\frac{\partial f}{\partial \xi} = k(\xi - R \sin \vartheta)$, allora sappiamo per certo che $\frac{\partial f}{\partial \xi}(2R, \vartheta) > 0$ e $\frac{\partial f}{\partial \xi}(-2R, \vartheta) < 0 \quad \forall \vartheta \in [-\pi, \pi]$.

Ne segue che il p.t. di minimo assoluto di f sull'insieme (compatto) $S = \{(\xi, \vartheta) : \xi \in [-2R, 2R], \vartheta \in \mathbb{T}\}$ non può appartenere a $\partial S = \{(\xi, \vartheta) : |\xi| = 2R, \vartheta \in [-\pi, \pi]\}$,

quindi sarà nella parte interna $S \setminus \partial S$ e quindi sarà in corrispondenza a un p.t. stazionario, cioè t.c. $\frac{\partial f}{\partial \xi} = \frac{\partial U}{\partial \xi} = 0$ e $\frac{\partial f}{\partial \vartheta} = \frac{\partial U}{\partial \vartheta} = 0$. Non rimangono altre possibilità se non $(\xi, \vartheta) = (0, 0), (0, \pi)$. Quest'ultima soluzione di queste corrisponde a un p.t. di sella, quindi $(\xi, \vartheta, \psi) = (0, 0, 0)$ è p.t. di minimo assoluto perché è l'unico candidato ad esserlo. Per il teorema di Lagrange-Dirichlet

$(0,0,0)$ è quindi p.t.o di equil. STABILE nel caso "critico"

c.d.s. $\frac{m\ddot{\varphi}}{kR} = 1 -$

—————⁰————

(3) Supponiamo ora che gli effetti del campo elettrico siano trascurabili, cioè si ponga $E = 0$. Si consideri il sistema quando viene introdotto un ulteriore vincolo in modo t.c. OQP formi sempre un triangolo rettangolo con vertice in Q (cioè Q è la proiezione di P sulla guida).

(3A) Si scrivano la hamiltoniana e le eq. di hamilton del nuovo sistema e se ne determinino le costanti del moto.

In termini delle coordinate libere (ξ, ϑ, ψ) addotte finora, il nuovo vincolo si esprime nel modo seguente:

$$\xi = R \sin \vartheta,$$

quindi la nuova lagrangiana sarà

$$L(\vartheta, \psi, \dot{\vartheta}, \dot{\psi}) = L(\xi = R \sin \vartheta, \vartheta, \dot{\vartheta}, \dot{\xi} = R \dot{\vartheta} \cos \vartheta, \dot{\vartheta}, \dot{\psi}), \text{ cioè}$$

$$\begin{aligned} L(\vartheta, \psi, \dot{\vartheta}, \dot{\psi}) &= \frac{1}{2} m R^2 \dot{\psi}^2 + \frac{1}{2} m R^2 (\dot{\vartheta}^2 + \sin^2 \vartheta \dot{\psi}^2) + \frac{1}{2} m (R \dot{\vartheta}^2 \cos^2 \vartheta + R^2 \dot{\vartheta}^2 \sin^2 \vartheta) \\ &\quad + M g R \cos \vartheta - \frac{1}{2} k R^2 \dot{\sin}^2 \vartheta + k R^2 \dot{\sin}^2 \vartheta \\ &= \frac{1}{2} m R^2 (1 + \cos^2 \vartheta) \dot{\vartheta}^2 + \left(\frac{M}{4} + m \sin^2 \vartheta \right) R^2 \dot{\psi}^2 + M g R \cos \vartheta + \frac{1}{2} k R^2 \dot{\sin}^2 \vartheta \end{aligned}$$

Possiamo ora scrivere la hamiltoniana del moto
sistema meccanico:

$$H(P_\theta, P_\varphi, \dot{\theta}, \dot{\varphi}) = P_\theta \cdot \dot{\theta} + P_\varphi \cdot \dot{\varphi} - L(\theta, \varphi, \dot{\theta}, \dot{\varphi}) \quad \left| \begin{array}{l} \dot{\theta} = \dot{\theta}(P_\theta, P_\varphi, \theta, \varphi) \\ \dot{\varphi} = \dot{\varphi}(P_\theta, P_\varphi, \theta, \varphi) \end{array} \right. ,$$

dove $\left\{ \begin{array}{l} P_\theta = \frac{\partial L}{\partial \dot{\theta}} = \mu R^2 (1 + \cos^2 \theta) \dot{\theta} \Rightarrow \dot{\theta} = P_\theta / [\mu R^2 (1 + \cos^2 \theta)] \\ P_\varphi = \frac{\partial L}{\partial \dot{\varphi}} = \left(\frac{\mu}{2} + 2\mu \sin^2 \theta \right) R^2 \dot{\varphi} \Rightarrow \dot{\varphi} = P_\varphi / \left(\frac{\mu}{2} + 2\mu \sin^2 \theta \right) R^2 \end{array} \right.$

quindi $H(P_\theta, P_\varphi, \theta, \varphi) = \frac{1}{2} \frac{P_\theta^2}{\mu R^2 (1 + \cos^2 \theta)} + \frac{1}{2} \frac{P_\varphi^2}{\left(\frac{\mu}{2} + 2\mu \sin^2 \theta \right) R^2}$

e, inoltre,

$$\left\{ \begin{array}{l} \dot{P}_\theta = \frac{\partial H}{\partial \theta} = -\frac{2P_\theta^2 \sin \theta \cos \theta}{[\mu R^2 (1 + \cos^2 \theta)]^2} - \frac{\mu R \cos \theta - \frac{1}{2} k R^2 \sin^2 \theta}{R^2} \\ \dot{P}_\varphi = \frac{\partial H}{\partial \varphi} = \frac{2P_\varphi^2 \mu R^2 \sin \theta \cos \theta}{\left[\left(\frac{\mu}{2} + 2\mu \sin^2 \theta \right) R^2 \right]^2} - \mu g R \sin \theta + k R \sin \theta \cos \theta \\ \dot{\theta} = P_\theta / [\mu R^2 (1 + \cos^2 \theta)] \\ \dot{\varphi} = P_\varphi / \left[\left(\frac{\mu}{2} + 2\mu \sin^2 \theta \right) R^2 \right] \end{array} \right. \quad \left(= \frac{\partial H}{\partial \theta} \right) \quad \left(= \frac{\partial H}{\partial \varphi} \right)$$

Dalla seconda eq. di hamilton segue immediatamente che $P_\varphi = \left(\frac{\mu}{2} + 2\mu \sin^2 \theta \right) R^2 \dot{\varphi}$ è una costante del moto;

un facile calcolo (che qui non riporto, per brevità) mostrebbe che P_0 altrimenti è che la proiezione del momento angolare totale proiettato sull'asse z , verrebbero anche con il fatto che il sistema (quando è stato posto $\Sigma = 0$) è diventato invariante per rotazioni attorno all'asse z .

Inoltre, siccome la flangia terrestre non dipende esplicitamente dal tempo, allora anche

$$H = \frac{1}{2} \frac{\dot{P}_0^2}{mR^2(1+\cos^2\theta)} + \frac{1}{2} \frac{\dot{P}_\phi^2}{\left(\frac{N}{2} + 2m\sin^2\theta R^2\right)} - MgR\cos\theta - \frac{1}{2} kR^2 \sin^2\theta$$

è una costante del moto.

Infatti, essa corrisponde all'energia totale meccanica del sistema.

(3B) Si considerino moti del sistema, tali che il punto P e il punto Q descrivono orbite circolari, ciascuna delle quali giace in un piano orizzontale (questi due piani paralleli sono ortogonali tra loro).

Studiando le equazioni del moto, si determini quale condizione deve essere soddisfatta del periodo di questi due circoli affinché essi esistano.

Inoltre si spieghi perché tali undici circolari sono possibili solo se il punto P si trova sempre al di sotto del piano Oxy.

Affinché il moto di P sia in un piano orizzontale, allora deve essere che la sua quota verticale sia costante, cioè $\frac{d}{dt}(-R \cos \vartheta) = 0 \Rightarrow \dot{\vartheta} = 0$, quindi

$$\vartheta(t) = \vartheta(0) + t.$$

Ne segue che

$$P_\vartheta = m R^2 (1 + \cos^2 \vartheta) \dot{\vartheta} = 0$$

e quindi

$$\ddot{\vartheta} = \dot{P}_\vartheta = \frac{2 P_\vartheta m R^2 \sin \vartheta \cos \vartheta - M g R \sin \vartheta + k R^2 \sin \vartheta \dot{\varphi}^2}{\left[\left(\frac{M}{2} + 2m \sin^2 \vartheta\right) R^2\right]^2}$$

(che è la prima eq. di Hamilton).

Dall'ultima delle eq. di Hamilton abbiamo

$$P_\varphi = \left(\frac{M}{2} + 2m \sin^2 \vartheta\right) R^2 \dot{\varphi},$$

quindi le informazioni precedenti possono essere riassunte nelle seguenti eq.

[■] $(2m \dot{\varphi}^2 + k) R^2 \sin \vartheta \cos \vartheta = M g R \sin \vartheta$

Siccome per i undici circolari che stiamo considerando $\vartheta(t) = \vartheta(0)$ è costante, possiamo esprimere facilmente il valore

(a sua volta costante) di $\dot{\varphi}$, cioè

$$|\dot{\varphi}| = \sqrt{\frac{MgR - kR^2 \cos\theta}{2\mu R^2 \cos\theta}}$$

, che vale (avvicinando)
per $\theta \neq \pm\pi/2$; nel caso
 $\theta = \pm\pi/2$ l'eq [■] non ammette
soluzioni).

Tuttavia, nel caso $\theta = 0, \pi$ la circonferenza (descritta dall'orbita di P) si riduce a un punto, quindi è chiaramente non significativo il problema di determinare quale condizione deve soddisfare il periodo.

Dopo aver ricordato le coordinate di P: $(R \sin\theta \cos\varphi, R \sin\theta \sin\varphi, -R \cos\theta)$, quando θ e φ sono costanti, allora il moto è circolare uniforme e il suo periodo è dato da

$$T_p = \frac{2\pi}{|\dot{\varphi}|} = 2\pi \sqrt{\frac{2\mu R^2 \cos\theta}{MgR - kR^2 \cos\theta}}$$

Infine, sempre dall'equazione [■] con $\theta \neq 0, \pi$
(cioè i casi in cui l'orbita degenera in un punto)

$$(2\mu\dot{\varphi}^2 + k)R^2 \cos\theta = MgR$$

$$\rightarrow \cos\theta = \frac{Mg}{(2\mu\dot{\varphi}^2 + k)R} > 0$$

Ne segue che deve essere $\theta \in (-\pi/2, \pi/2)$, quindi può più avere quota $z_p = -R \cos\theta > 0$.